



**Sismo del 18 de marzo de 2026  
IZTAPALAPA, Cdmx, México (M2.5)  
04:38:40 Hora Local**

**REPORTE PRELIMINAR  
Parámetros del Movimiento del Terreno**

**Elaboró:**  
**Unidad de Instrumentación Sísmica**  
**Coordinación de Ingeniería Sismológica**  
<https://www.uis.unam.mx/miembros/>

Ciudad de México  
Marzo, 2026

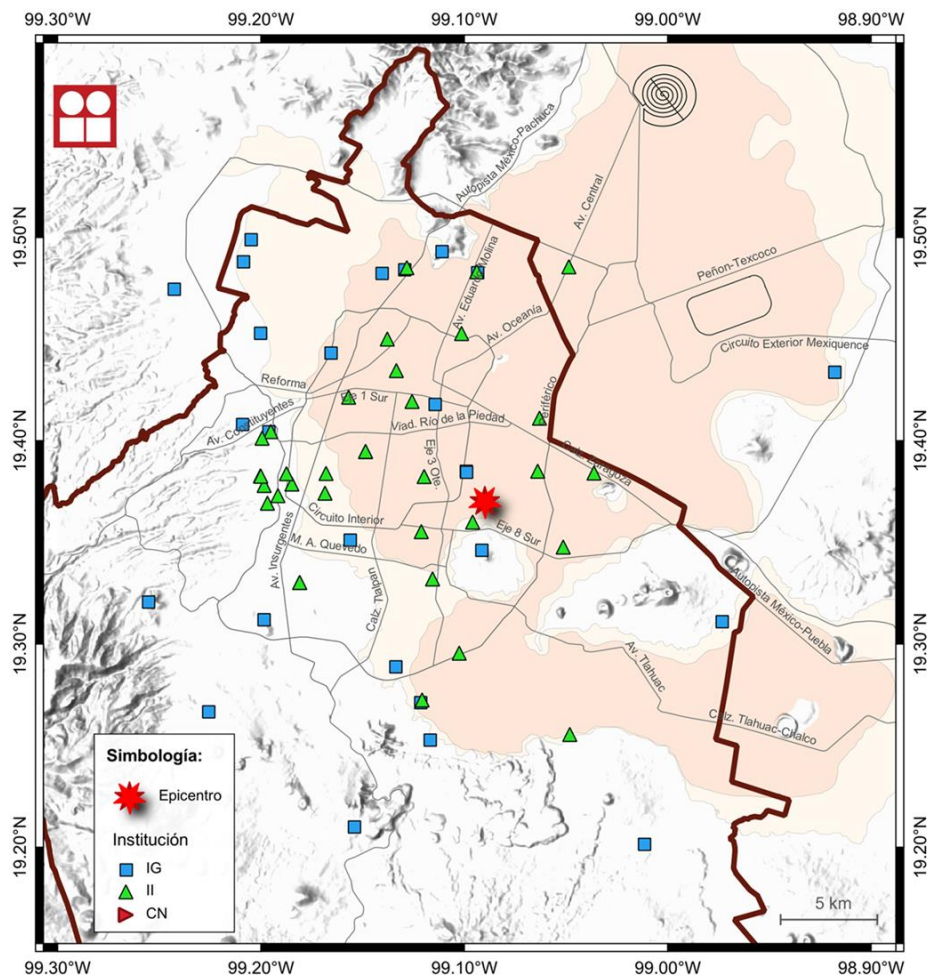
[www.iingen.unam.mx](http://www.iingen.unam.mx)  
[www.uis.unam.mx](http://www.uis.unam.mx)

*Versión Es1.0 18-03-2026*

*\*El sismo está reportado en fecha y hora del Centro de México*

## Información Básica

El 18 de marzo de 2026 se registró un sismo de magnitud M2.5 ubicado en IZTAPALAPA, Ciudad de México (Servicio Sismológico Nacional, 2026). El tiempo de origen del sismo fue a las 04:38:40 hora del centro de México (18 de marzo de 2026, 10:38:40 UTC). Su hipocentro se localizó a 7 km de profundidad, en la latitud  $19.37^{\circ}\text{N}$  y longitud  $99.09^{\circ}\text{O}$  (ver figura 1).



**Figura 1.** Epicentro del sismo del 18 de marzo de 2026 (M2.5) y estaciones sísmicas empleadas en la elaboración del mapa preliminar de PGA. Las estaciones pertenecientes a la Red Acelerográfica del Instituto de Ingeniería de la UNAM (RAII-UNAM) son operadas por la Unidad de Instrumentación Sísmica. Las estaciones IG y CN mostradas son operadas por el Servicio Sismológico Nacional y el Centro Nacional de Prevención de Desastres, respectivamente.

## Parámetros de Intensidad del Movimiento del Terreno

La tabla 1 presenta la localización geográfica de las estaciones de la Red Acelerográfica del Instituto de Ingeniería de la UNAM (RAII-UNAM) y la aceleración máxima del terreno (PGA) que se registró. Las señales, recibidas en tiempo real, provienen de estaciones ubicadas a una distancia epicentral que oscilan entre 1 y 14 km. La PGA máxima registrada en la Red Permanente de monitoreo del IINGEN, fue 5.33 cm/s<sup>2</sup> en la estación LOMAS BECERRA (LOBE), ubicada a una distancia epicentral de 11.70 km. Los acelerogramas fueron corregidos por línea base y filtrados entre 0.1 y 20 Hz.

**Tabla 1.** Localización de las estaciones del IINGEN y valores máximos registrados

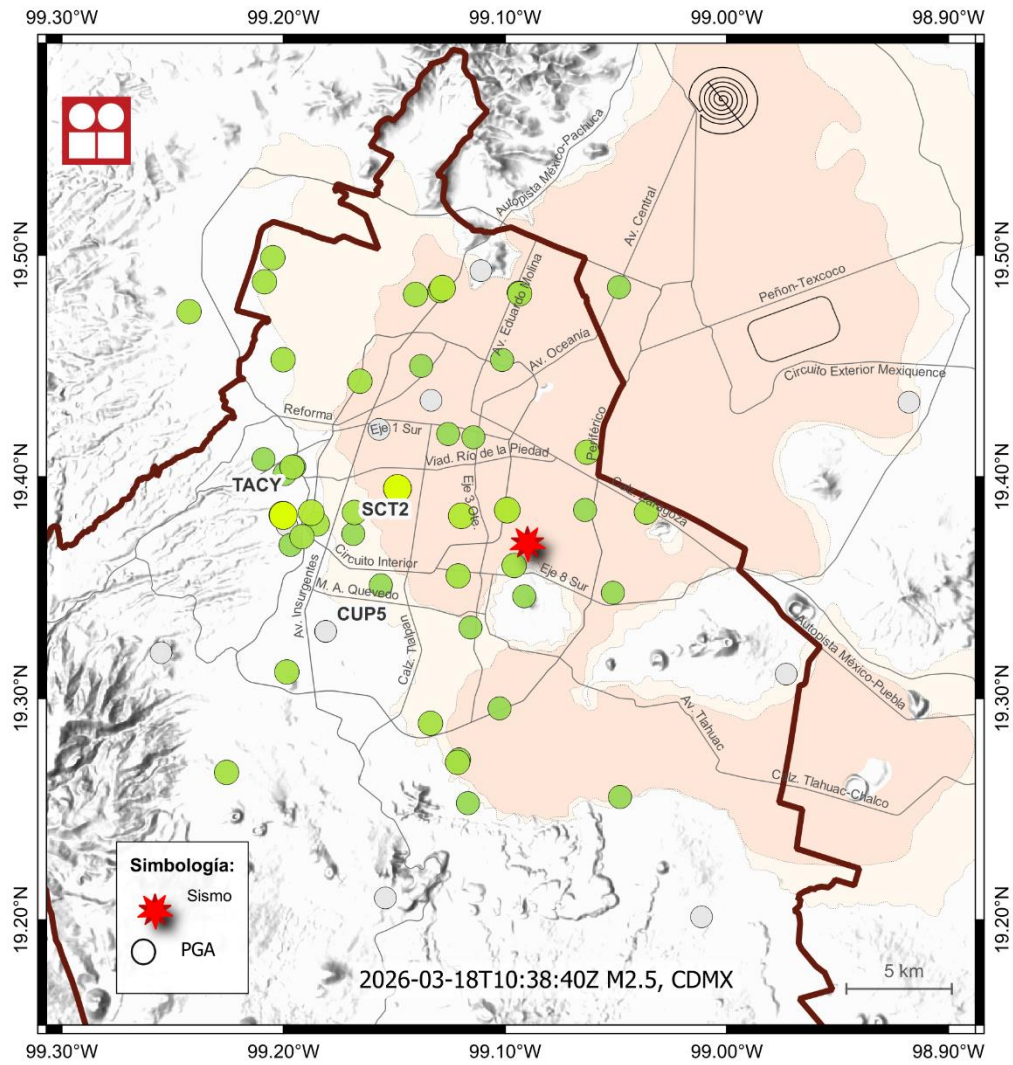
Clave	Estado	Localización		Distancia Epicentral (km)	PGA (cm/s <sup>2</sup> )
		Latitud N (°)	Longitud O (°)		
CMEA	CMX	19.359965	99.095990	1.30	1.10
CM55	CMX	19.385019	99.064004	3.20	0.39
CMRA	CMX	19.382406	99.119846	3.40	2.48
CMRC	CMX	19.355282	99.121243	3.70	1.06
CMRM	CMX	19.347694	99.051460	4.70	0.14
CMMG	CMX	19.332018	99.115699	5.00	0.15
CMPR	CMX	19.411101	99.063118	5.40	1.23
CMFZ	CMX	19.384119	99.036316	5.90	1.22
CMP7	CMX	19.419333	99.125786	6.60	0.17
SCT3	CMX	19.394762	99.148643	6.70	4.76
SCT2	CMX	19.394694	99.148678	6.70	4.52
RV10	CMX	19.374206	99.168596	8.30	0.10
RV05	CMX	19.383907	99.168075	8.30	1.02
CMEN	CMX	19.295514	99.102591	8.40	0.95
CTCL	CMX	19.434521	99.133503	8.50	0.06
CMCL	CMX	19.421417	99.156975	9.00	0.04
CMJC	CMX	19.452758	99.101430	9.20	0.60
P011A	CMX	19.378717	99.184850	10.00	1.56
CMCT	CMX	19.450048	99.137962	10.20	0.60
RV03	CMX	19.383808	99.187556	10.40	2.12
CUP5	CMX	19.330240	99.181076	10.50	0.06
CMCU	CMX	19.330278	99.181023	10.50	0.05
CMPM	CMX	19.373000	99.191730	10.70	1.66
RV12	CMX	19.369268	99.196897	11.20	0.11
CMP1	CMX	19.272467	99.120834	11.30	0.57

---

RV07	CMX	19.378010	99.198510	11.40	0.06
TACY	CMX	19.404505	99.195246	11.70	0.20
LOBE	CMX	19.382541	99.200164	11.70	5.33
LBC2	CMX	19.382730	99.200356	11.70	5.06
CMBM	CMX	19.401245	99.199547	12.00	0.35
CMP3	CMX	19.483149	99.093941	12.50	0.16
CMP9	CMX	19.485146	99.128349	13.40	1.07
CMSG	CMX	19.255509	99.048218	13.40	0.69
CMPI	MEX	19.485580	99.048683	13.50	0.76

---

En la Ciudad de México, la aceleración máxima del terreno registrada en la estación de Ciudad Universitaria fue de 0.04 cm/s<sup>2</sup>.

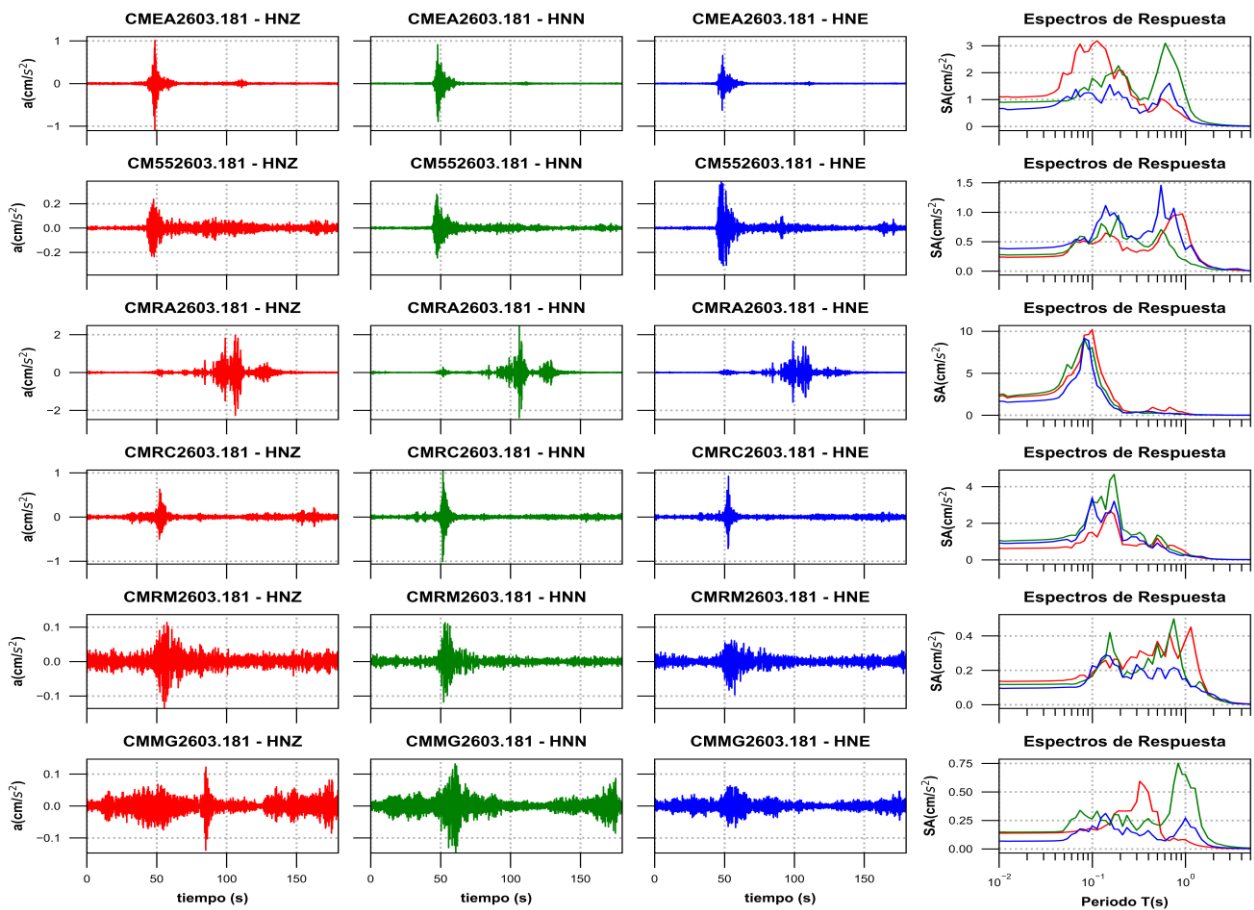


PGA(cm/s <sup>2</sup> )	< 0.1	1	2	4	11	30	90	110	130	> 150
Percepción del movimiento	Leve			Moderado			Fuerte			

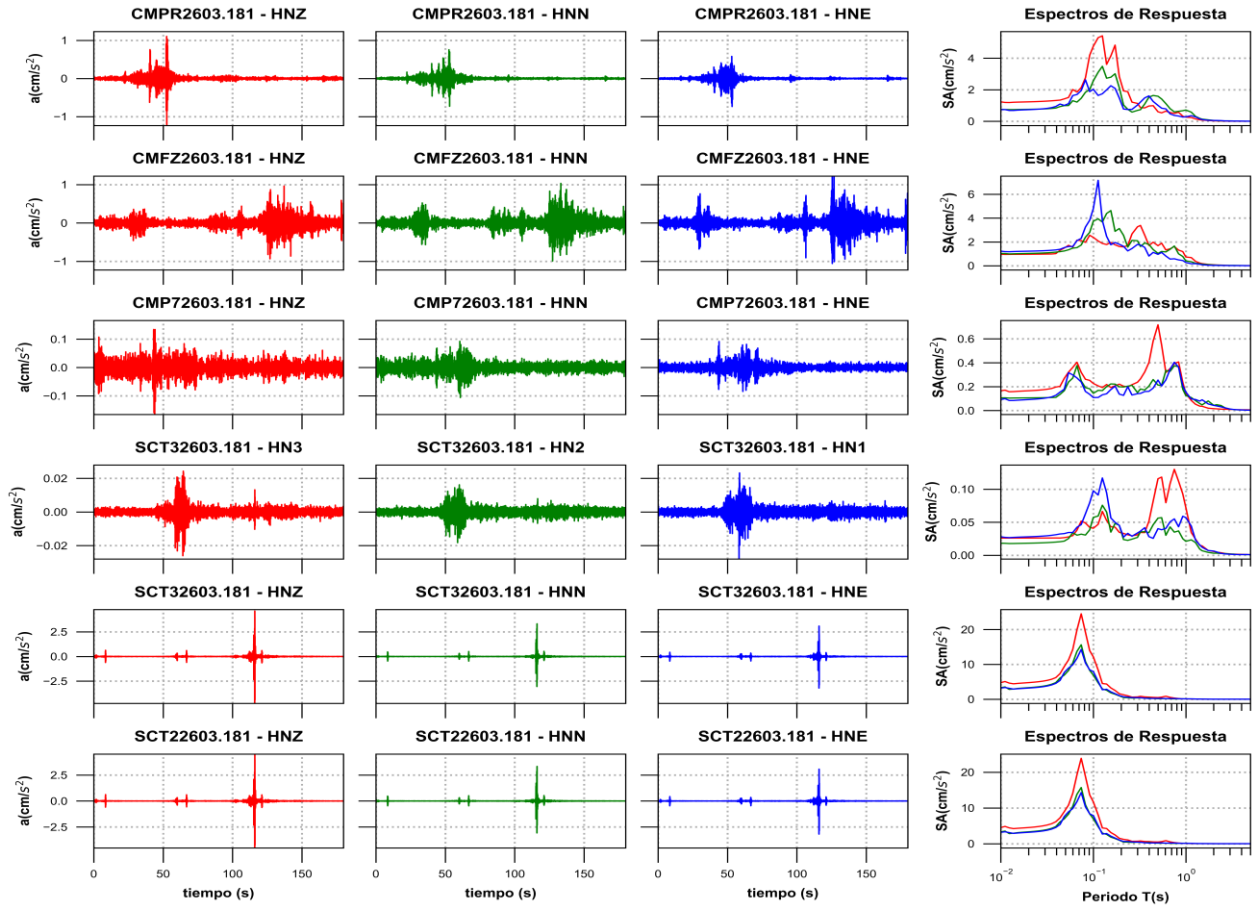
**Figura 2.** Mapa de Aceleraciones Máximas registradas ( $PGA_{rms}$ )

## Acelerogramas y Espectros de Respuesta

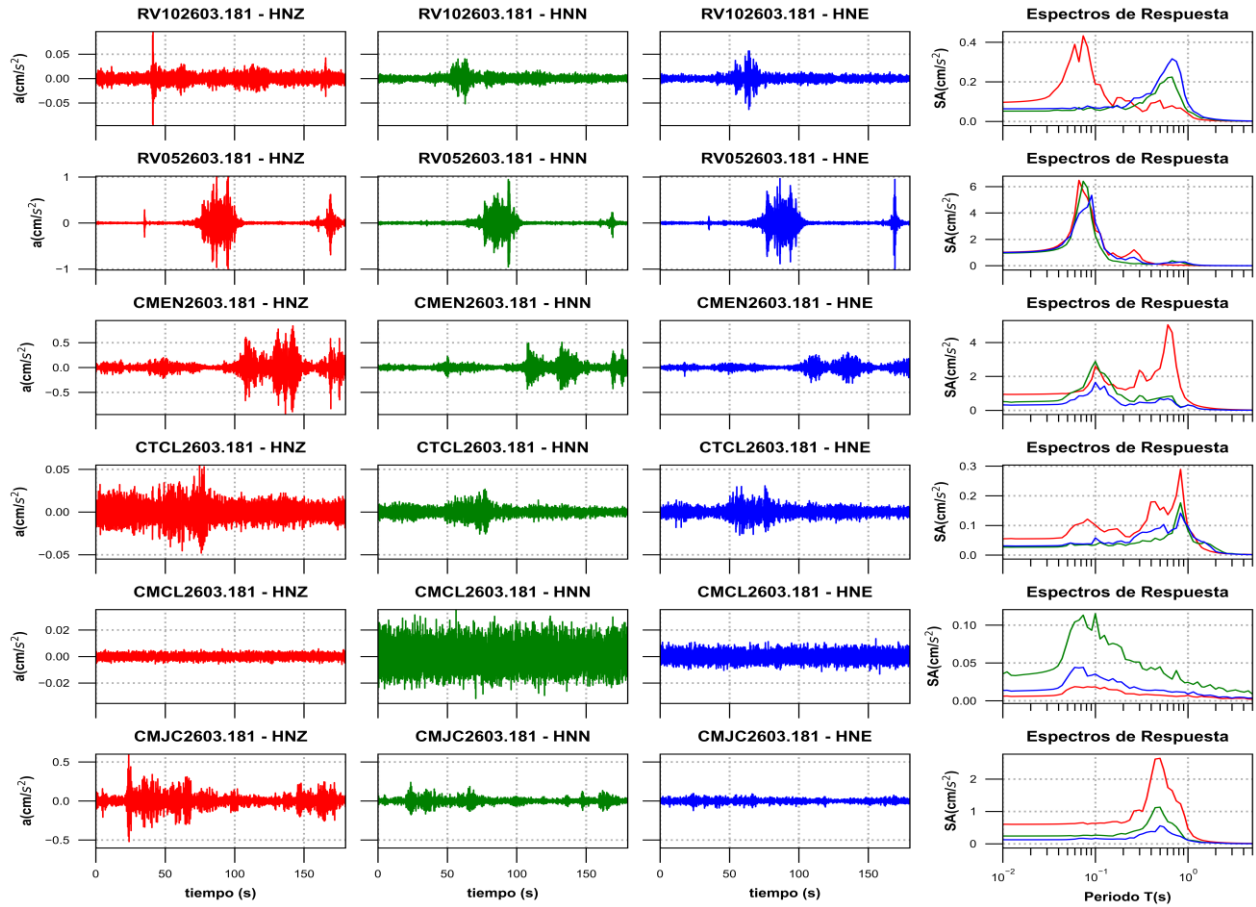
Las figuras 3a a 3f muestran los acelerogramas registrados en las estaciones operadas por el IINGEN y sus espectros de respuesta de aceleración (SA) con amortiguamiento del 5% del crítico, obtenidos para las tres componentes ortogonales del movimiento del suelo. La tabla 2 muestra los valores máximos de aceleración para cada estación y canal. Se incluyen los valores de aceleración espectral para los periodos  $T = 0.1, 0.3, 0.5, 1.0, 1.5, 2.0$  y  $3.0$  s, indicando el valor máximo de SA y el periodo al cual está asociado.



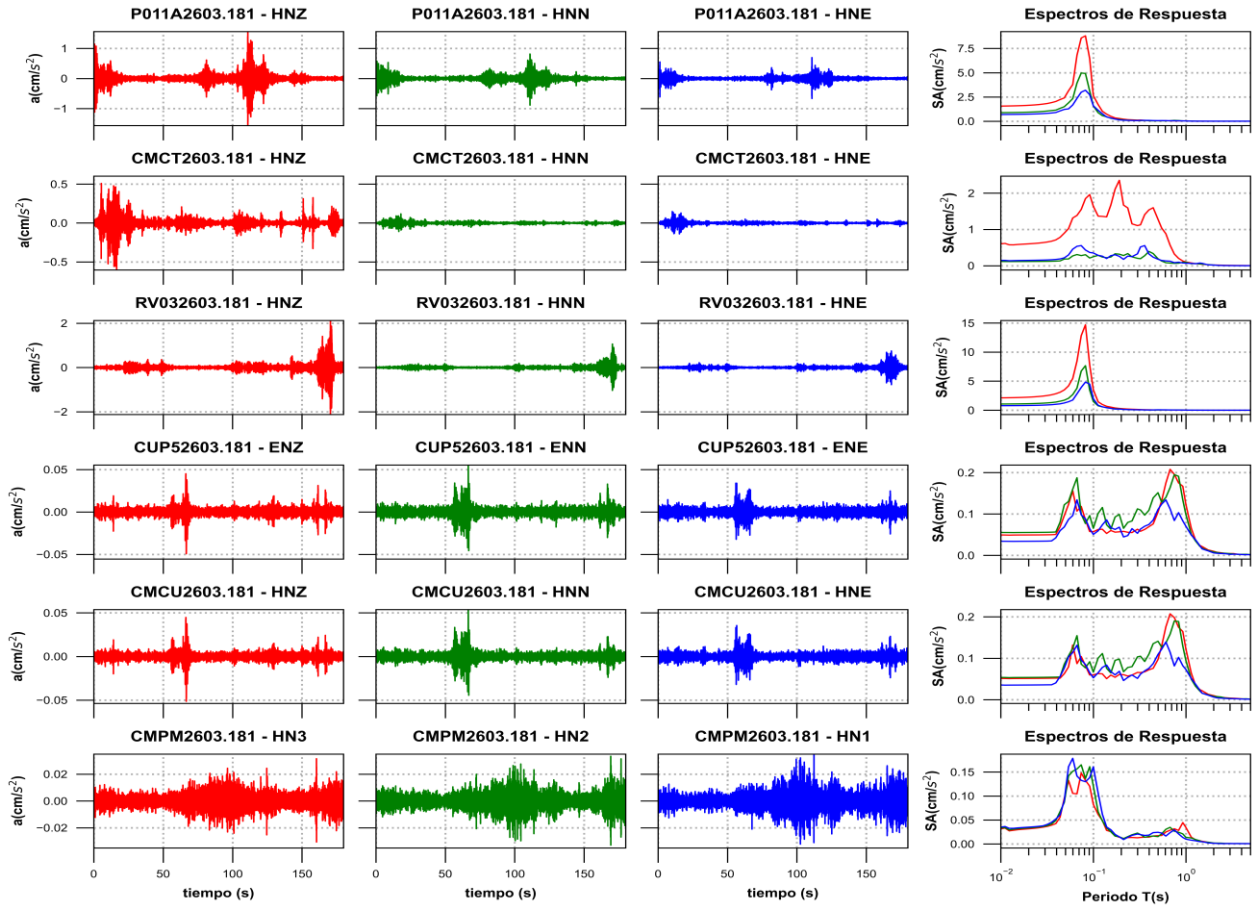
**Figura 3a.** Acelerogramas registrados y espectros de respuesta estimados para los registros obtenidos durante el sismo del 18 de marzo de 2026 (M2.5)



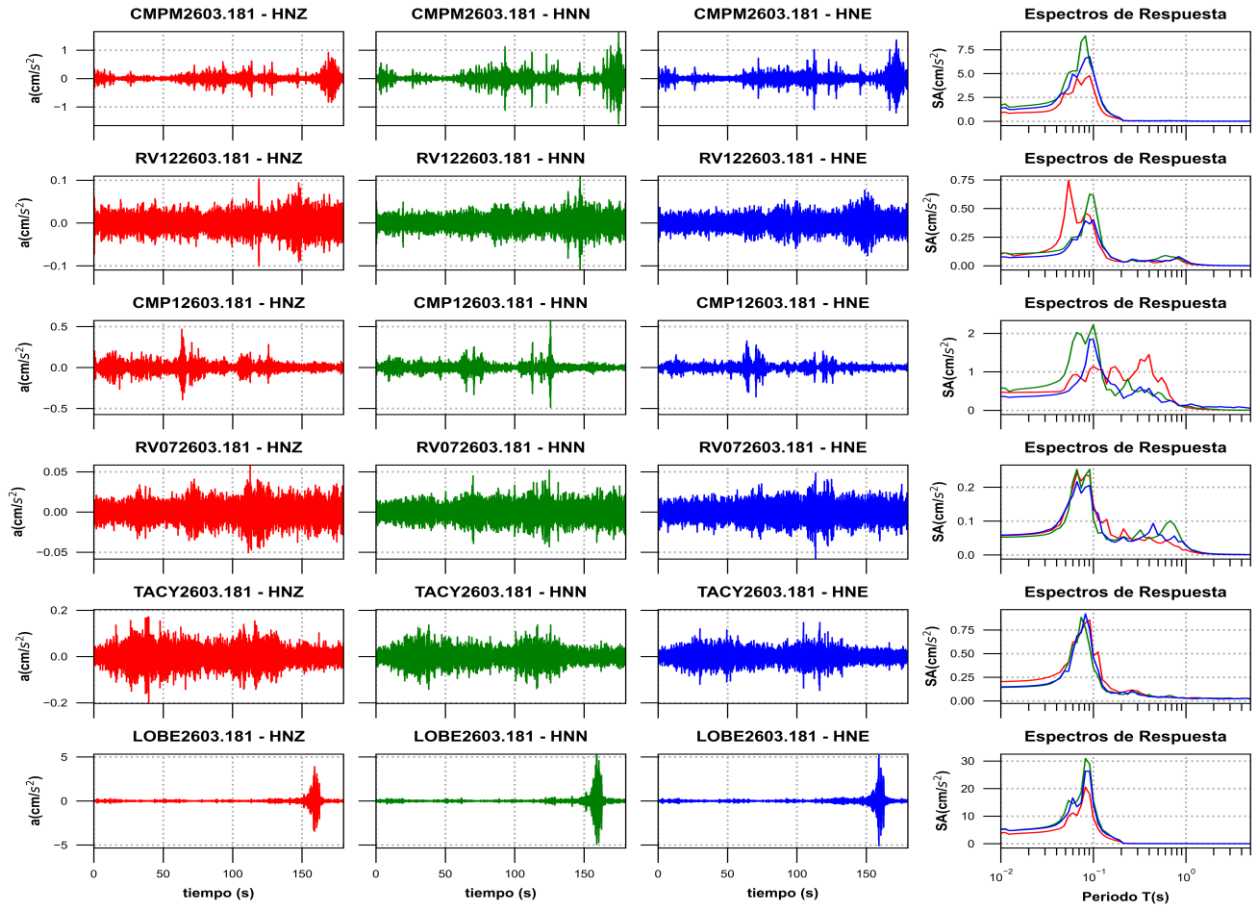
**Figura 3b.** Acelerogramas registrados y espectros de respuesta estimados para los registros obtenidos durante el sismo del 18 de marzo de 2026 (M2.5)



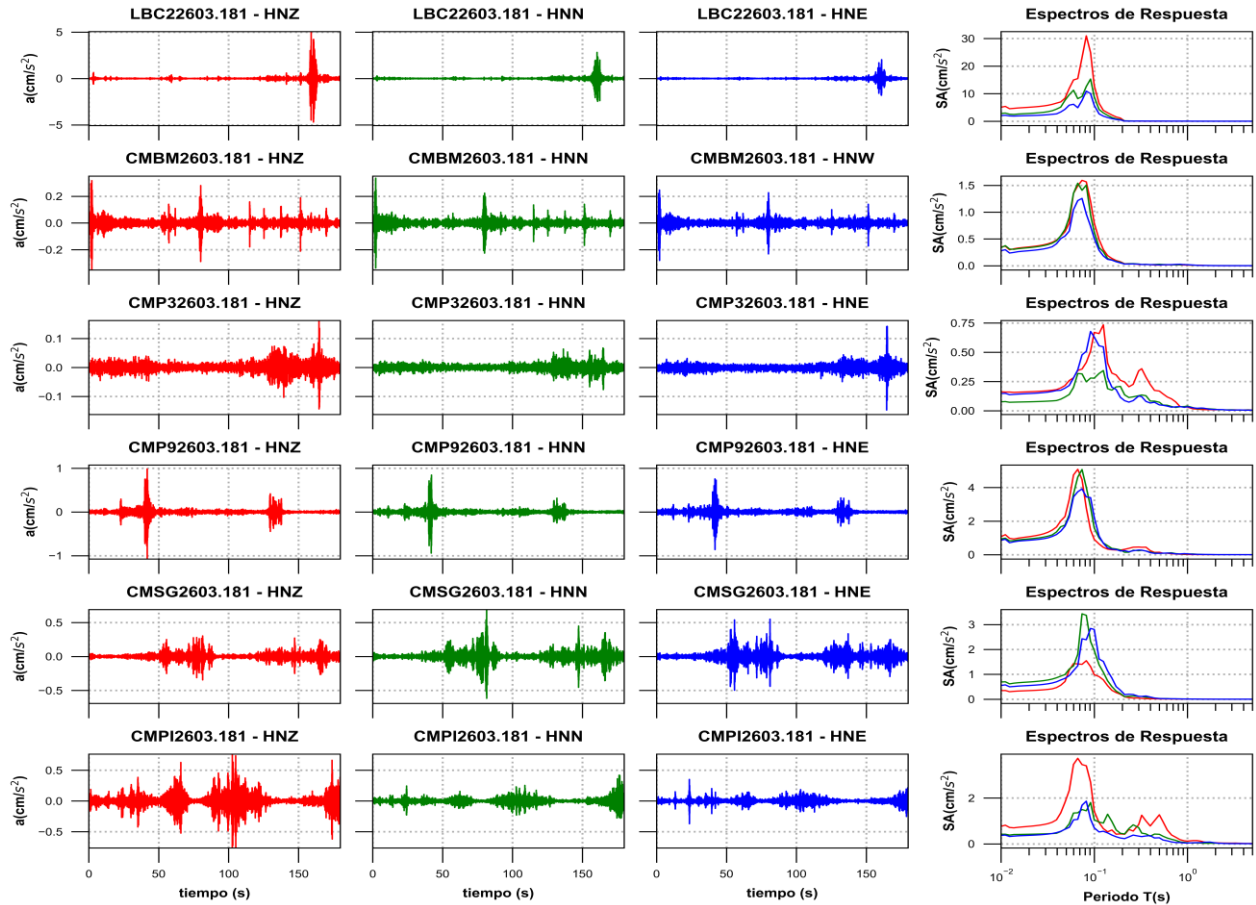
**Figura 3c.** Acelerogramas registrados y espectros de respuesta estimados para los registros obtenidos durante el sismo del 18 de marzo de 2026 (M2.5)



**Figura 3d.** Acelerogramas registrados y espectros de respuesta estimados para los registros obtenidos durante el sismo del 18 de marzo de 2026 (M2.5)



**Figura 3e.** Acelerogramas registrados y espectros de respuesta estimados para los registros obtenidos durante el sismo del 18 de marzo de 2026 (M2.5)



**Figura 3f.** Acelerogramas registrados y espectros de respuesta estimados para los registros obtenidos durante el sismo del 18 de marzo de 2026 (M2.5)

**Tabla 2.** Valores máximos de aceleración obtenidos para cada estación. Se incluyen los valores de aceleración espectral (SA) para los periodos T= 0.1, 0.3, 0.5, 1.0, 1.5, 2.0 y 3.0 s. Se indica el máximo valor de SA y el periodo asociado

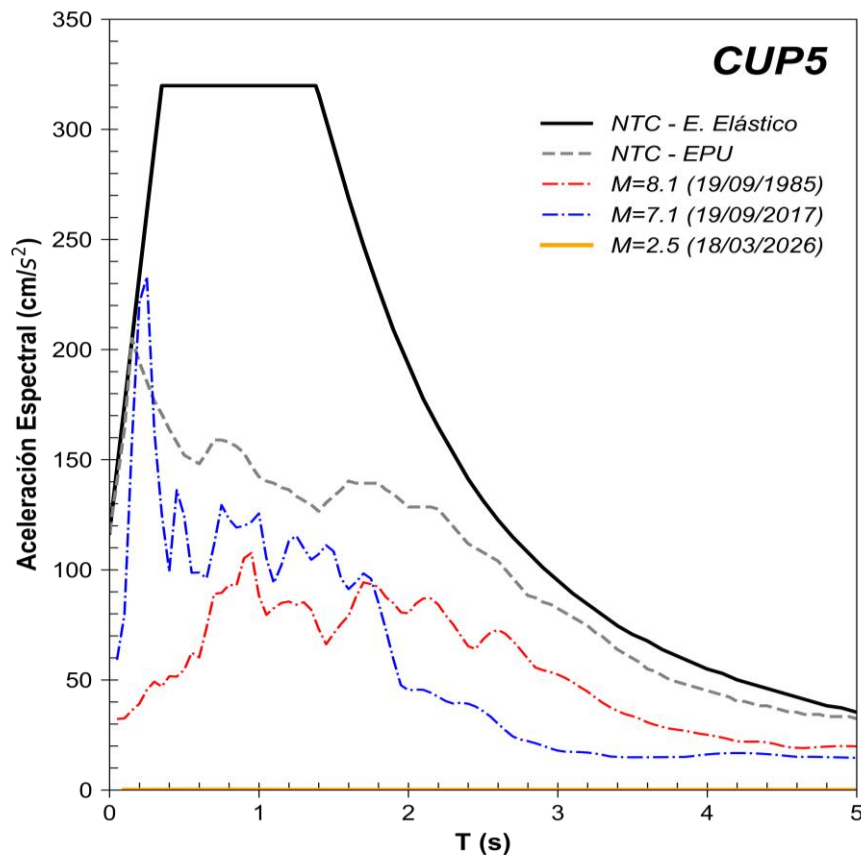
Estación	Canal	PGA (cm/s <sup>2</sup> )	Aceleración Espectral (SA)							T <sub>Amáx</sub> (s)	S <sub>Amáx</sub> (cm/s <sup>2</sup> )
			T=0.1s	T=0.3s	T=0.5s	T=1s	T=1.5s	T=2s	T=3s		
CMEA	HNZ	1.10	3.05	1.03	0.76	0.33	0.10	0.05	0.02	0.11	3.18
CMEA	HNN	0.91	1.79	1.16	2.03	1.19	0.21	0.10	0.04	0.61	3.10
CMEA	HNE	0.66	1.23	0.66	0.79	0.50	0.10	0.05	0.02	0.68	1.61
CM55	HNZ	0.24	0.46	0.32	0.48	0.83	0.17	0.06	0.02	0.93	0.97
CM55	HNN	0.28	0.52	0.53	0.59	0.19	0.07	0.03	0.03	0.19	0.95
CM55	HNE	0.39	0.60	0.55	0.95	0.36	0.15	0.06	0.04	0.55	1.46
CMRA	HNZ	2.27	10.16	0.37	0.71	0.29	0.06	0.03	0.01	0.10	10.16
CMRA	HNN	2.48	8.03	0.40	0.26	0.11	0.08	0.05	0.01	0.08	9.09
CMRA	HNE	1.66	5.85	0.38	0.31	0.11	0.04	0.04	0.01	0.08	9.15
CMRC	HNZ	0.63	1.49	0.76	1.17	0.42	0.10	0.04	0.01	0.15	2.68
CMRC	HNN	1.06	3.18	1.40	1.36	0.27	0.14	0.05	0.02	0.17	4.67

CMRC	HNE	0.92	3.39	1.25	0.92	0.26	0.18	0.04	0.01	0.10	3.39
CMRM	HNZ	0.14	0.18	0.27	0.37	0.38	0.15	0.04	0.01	1.14	0.45
CMRM	HNN	0.12	0.17	0.19	0.35	0.17	0.13	0.04	0.01	0.75	0.50
CMRM	HNE	0.10	0.23	0.23	0.21	0.15	0.08	0.06	0.02	0.14	0.29
CMMG	HNZ	0.14	0.17	0.41	0.33	0.08	0.02	0.01	0.00	0.32	0.59
CMMG	HNN	0.15	0.26	0.16	0.21	0.65	0.20	0.06	0.02	0.83	0.75
CMMG	HNE	0.07	0.20	0.14	0.08	0.27	0.08	0.02	0.01	0.14	0.31
CMPR	HNZ	1.23	4.76	1.13	0.60	0.26	0.08	0.03	0.01	0.13	5.42
CMPR	HNN	0.76	2.57	0.69	1.59	0.72	0.14	0.05	0.02	0.13	3.49
CMPR	HNE	0.74	2.03	1.03	1.01	0.28	0.11	0.05	0.02	0.08	2.63
CMFZ	HNZ	0.97	2.38	3.27	1.69	0.73	0.18	0.08	0.03	0.32	3.38
CMFZ	HNN	1.04	3.74	2.10	1.04	0.41	0.13	0.06	0.03	0.15	4.63
CMFZ	HNE	1.22	4.79	1.79	0.96	0.27	0.09	0.03	0.02	0.11	7.17
CMP7	HNZ	0.17	0.23	0.24	0.72	0.14	0.04	0.02	0.01	0.50	0.72
CMP7	HNN	0.11	0.14	0.15	0.21	0.12	0.05	0.04	0.01	0.07	0.38
CMP7	HNE	0.09	0.11	0.14	0.26	0.15	0.09	0.04	0.01	0.75	0.40
SCT3	HN3	0.03	0.04	0.03	0.12	0.07	0.01	0.01	0.00	0.75	0.13
SCT3	HN2	0.02	0.06	0.03	0.06	0.02	0.01	0.00	0.00	0.13	0.08
SCT3	HN1	0.03	0.10	0.03	0.04	0.06	0.01	0.01	0.00	0.13	0.12
SCT3	HNZ	4.76	12.16	0.66	0.48	0.09	0.03	0.02	0.02	0.07	24.51
SCT3	HNN	3.32	6.91	0.38	0.16	0.12	0.05	0.01	0.01	0.07	15.62
SCT3	HNE	3.21	7.93	0.43	0.23	0.11	0.04	0.02	0.01	0.07	14.29
SCT2	HNZ	4.52	11.72	0.70	0.48	0.09	0.03	0.02	0.01	0.07	23.91
SCT2	HNN	3.33	6.99	0.42	0.16	0.12	0.05	0.01	0.01	0.07	15.72
SCT2	HNE	3.19	7.87	0.45	0.23	0.11	0.04	0.02	0.01	0.07	14.31
RV10	HNZ	0.10	0.19	0.06	0.11	0.04	0.01	0.00	0.00	0.07	0.43
RV10	HNN	0.05	0.06	0.09	0.19	0.05	0.02	0.01	0.00	0.68	0.22
RV10	HNE	0.06	0.07	0.12	0.22	0.09	0.02	0.01	0.00	0.68	0.32
RV05	HNZ	1.02	2.68	0.82	0.10	0.03	0.01	0.01	0.00	0.07	6.47
RV05	HNN	0.96	2.28	0.17	0.15	0.12	0.02	0.01	0.00	0.07	6.40
RV05	HNE	1.00	3.28	0.39	0.15	0.21	0.03	0.01	0.01	0.09	5.34
CMEN	HNZ	0.95	2.59	2.36	2.47	0.57	0.18	0.09	0.04	0.61	5.04
CMEN	HNN	0.51	2.88	0.86	0.73	0.31	0.06	0.04	0.01	0.10	2.88
CMEN	HNE	0.32	1.64	0.48	0.68	0.31	0.06	0.03	0.01	0.10	1.64
CTCL	HNZ	0.06	0.10	0.08	0.15	0.09	0.02	0.01	0.00	0.83	0.29
CTCL	HNN	0.03	0.03	0.04	0.05	0.08	0.04	0.02	0.01	0.83	0.18
CTCL	HNE	0.03	0.06	0.07	0.09	0.10	0.04	0.01	0.00	0.83	0.14
CMCL	HNZ	0.01	0.02	0.01	0.01	0.01	0.01	0.00	0.00	0.06	0.02
CMCL	HNN	0.04	0.11	0.05	0.04	0.02	0.02	0.02	0.01	0.10	0.11
CMCL	HNE	0.01	0.04	0.02	0.01	0.01	0.01	0.01	0.00	0.07	0.04
CMJC	HNZ	0.60	0.63	1.04	2.64	0.48	0.10	0.05	0.02	0.50	2.64
CMJC	HNN	0.24	0.27	0.43	1.13	0.12	0.04	0.02	0.01	0.50	1.13
CMJC	HNE	0.12	0.17	0.28	0.55	0.11	0.04	0.03	0.01	0.50	0.55
PO11A	HNZ	1.56	2.64	0.12	0.05	0.03	0.01	0.01	0.01	0.08	8.80
PO11A	HNN	0.89	1.58	0.08	0.05	0.03	0.01	0.01	0.01	0.07	4.97

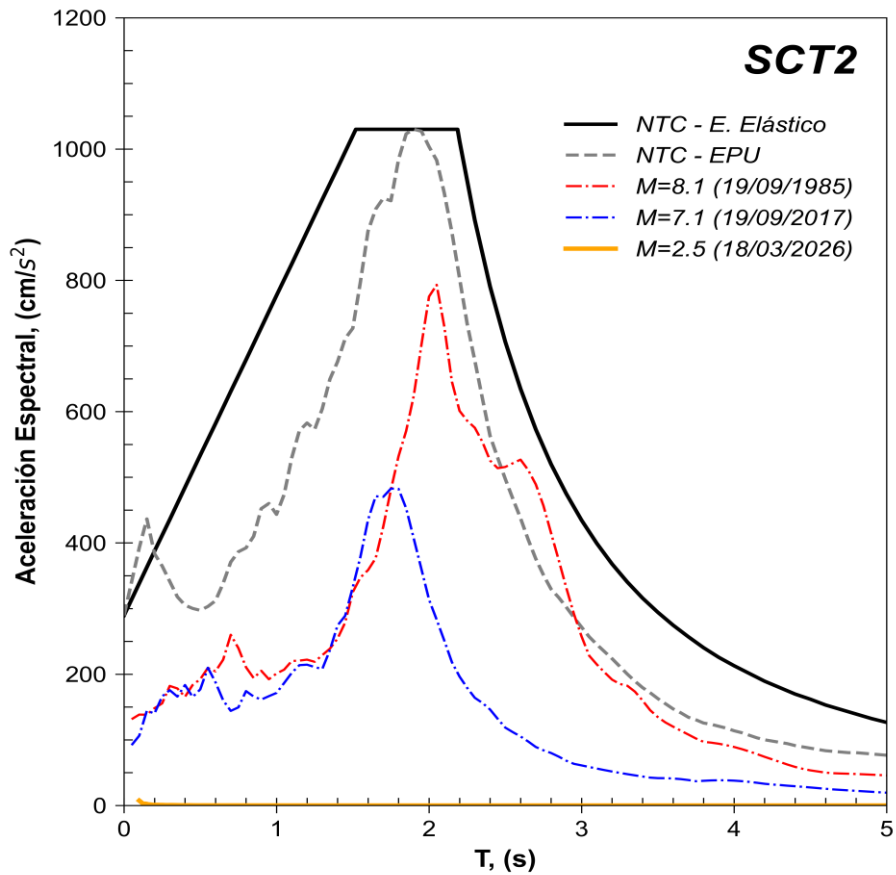
PO11A	HNE	0.70	1.60	0.07	0.06	0.03	0.01	0.01	0.01	0.08	3.20
CMCT	HNZ	0.60	1.64	1.11	1.28	0.10	0.04	0.02	0.01	0.19	2.35
CMCT	HNN	0.12	0.25	0.20	0.19	0.10	0.05	0.02	0.00	0.40	0.39
CMCT	HNE	0.15	0.35	0.33	0.18	0.07	0.07	0.02	0.00	0.07	0.56
RV03	HNZ	2.12	3.52	0.13	0.05	0.03	0.01	0.01	0.00	0.08	14.69
RV03	HNN	1.06	1.51	0.07	0.04	0.02	0.01	0.00	0.00	0.08	7.66
RV03	HNE	0.78	1.98	0.07	0.07	0.02	0.01	0.00	0.00	0.08	4.83
CUP5	ENZ	0.05	0.06	0.06	0.10	0.12	0.02	0.01	0.00	0.68	0.21
CUP5	ENN	0.06	0.07	0.11	0.15	0.10	0.02	0.01	0.00	0.75	0.20
CUP5	ENE	0.03	0.05	0.05	0.11	0.07	0.02	0.01	0.00	0.07	0.13
CMCU	HNZ	0.05	0.06	0.07	0.10	0.12	0.02	0.01	0.00	0.68	0.21
CMCU	HNN	0.05	0.07	0.10	0.14	0.10	0.02	0.01	0.00	0.75	0.19
CMCU	HNE	0.04	0.05	0.05	0.11	0.07	0.02	0.01	0.00	0.61	0.14
CMPM	HN3	0.03	0.08	0.01	0.02	0.03	0.01	0.00	0.00	0.07	0.15
CMPM	HN2	0.03	0.12	0.02	0.02	0.01	0.00	0.00	0.00	0.07	0.17
CMPM	HN1	0.04	0.16	0.02	0.02	0.01	0.00	0.00	0.00	0.06	0.18
CMPM	HNZ	0.92	3.51	0.04	0.02	0.04	0.01	0.00	0.00	0.09	4.77
CMPM	HNN	1.66	5.14	0.05	0.03	0.03	0.01	0.00	0.00	0.08	8.96
CMPM	HNE	1.36	5.14	0.05	0.04	0.02	0.01	0.00	0.00	0.09	6.76
RV12	HNZ	0.10	0.36	0.04	0.03	0.03	0.00	0.00	0.00	0.05	0.75
RV12	HNN	0.11	0.61	0.04	0.06	0.04	0.01	0.00	0.00	0.09	0.63
RV12	HNE	0.08	0.40	0.05	0.04	0.05	0.01	0.00	0.00	0.10	0.40
CMP1	HNZ	0.47	1.14	1.07	0.73	0.07	0.03	0.02	0.01	0.40	1.45
CMP1	HNN	0.57	2.22	0.48	0.47	0.11	0.06	0.03	0.01	0.10	2.22
CMP1	HNE	0.36	1.83	0.55	0.30	0.13	0.08	0.09	0.08	0.09	1.85
RV07	HNZ	0.06	0.15	0.05	0.04	0.01	0.00	0.00	0.00	0.07	0.24
RV07	HNN	0.05	0.11	0.06	0.06	0.03	0.01	0.00	0.00	0.09	0.25
RV07	HNE	0.06	0.13	0.05	0.06	0.03	0.01	0.00	0.00	0.07	0.22
TACY	HNZ	0.20	0.47	0.10	0.04	0.02	0.03	0.03	0.02	0.09	0.85
TACY	HNN	0.14	0.35	0.09	0.04	0.03	0.03	0.03	0.03	0.07	0.88
TACY	HNE	0.15	0.46	0.07	0.04	0.03	0.03	0.02	0.02	0.08	0.92
LOBE	HNZ	3.90	9.47	0.05	0.02	0.01	0.00	0.00	0.00	0.08	20.55
LOBE	HNN	5.33	15.63	0.06	0.04	0.02	0.01	0.00	0.00	0.08	30.98
LOBE	HNE	5.19	14.41	0.06	0.04	0.03	0.00	0.00	0.00	0.08	26.32
LBC2	HNZ	5.06	12.92	0.03	0.02	0.01	0.00	0.00	0.00	0.08	30.97
LBC2	HNN	2.82	8.86	0.07	0.04	0.02	0.01	0.00	0.00	0.09	15.31
LBC2	HNE	2.04	5.76	0.07	0.04	0.03	0.00	0.00	0.00	0.08	10.91
CMBM	HNZ	0.35	0.80	0.03	0.01	0.01	0.01	0.00	0.00	0.07	1.59
CMBM	HNN	0.34	0.63	0.03	0.03	0.02	0.01	0.00	0.00	0.07	1.54
CMBM	HNW	0.28	0.51	0.03	0.02	0.02	0.01	0.00	0.00	0.07	1.26
CMP3	HNZ	0.16	0.67	0.34	0.17	0.03	0.01	0.01	0.01	0.13	0.73
CMP3	HNN	0.08	0.28	0.13	0.07	0.04	0.02	0.01	0.01	0.13	0.34
CMP3	HNE	0.15	0.63	0.13	0.05	0.03	0.02	0.01	0.01	0.09	0.68
CMP9	HNZ	1.07	0.91	0.46	0.15	0.01	0.01	0.00	0.00	0.07	5.09
CMP9	HNN	0.94	1.60	0.24	0.09	0.05	0.02	0.01	0.00	0.07	5.08

CMP9	HNE	0.86	2.23	0.28	0.08	0.05	0.02	0.01	0.00	0.07	3.92
CMSG	HNZ	0.35	0.99	0.05	0.01	0.00	0.00	0.00	0.00	0.08	1.55
CMSG	HNN	0.69	1.96	0.11	0.03	0.01	0.00	0.00	0.00	0.07	3.43
CMSG	HNE	0.55	2.80	0.12	0.03	0.01	0.00	0.00	0.00	0.09	2.84
CMPI	HNZ	0.76	1.42	0.84	1.27	0.12	0.08	0.05	0.03	0.07	3.73
CMPI	HNN	0.42	1.05	0.71	0.42	0.05	0.03	0.03	0.02	0.09	1.80
CMPI	HNE	0.37	0.70	0.34	0.27	0.04	0.07	0.04	0.01	0.08	1.86

Las figuras 4 y 5 muestran los espectros de respuesta de la estación CUP5 y SCT2, respectivamente, con los espectros de diseño y de peligro uniforme de acuerdo con la norma vigente NTC-2017.



**Figura 4.** Comparación del espectro de respuesta (ER) del sismo registrado en la estación **CUP5** con el espectro elástico de diseño (EDS) y de peligro uniforme (EPU) obtenidos del SASID. La línea discontinua de color rojo y azul corresponden a los ER de los sismos del 19 septiembre de 1985 y 2017, respectivamente. Todos los ER graficados corresponden a la media cuadrática de sus componentes horizontales.



**Figura 5.** Comparación del espectro de respuesta (ER) del sismo registrado en la estación **SCT2** con el espectro elástico de diseño (EDS) y de peligro uniforme (EPU) obtenidos del SASID. La línea discontinua de color rojo y azul corresponden a los ER de los sismos del 19 septiembre de 1985 y 2017, respectivamente. Todos los ER graficados corresponden a la media cuadrática de sus componentes horizontales.

## Referencias

Servicio Sismológico Nacional, Instituto de Geofísica, Universidad Nacional Autónoma de México, México. (18 de marzo de 2026) <http://www.ssn.unam.mx>